

تولید لنتی ویروس‌های نوترکیب بیان کننده miR-16 توسط ترانسفکشن موقت سلول‌های 293T

صادق باباشاه^۱، مجید صادقی‌زاده^{۲*}، مسعود سلیمانی^{۳**}، عباس حاجی‌فتحعلی^۴، مصطفی رضایی‌طاوی‌رانی^۵

۱- دانشجوی دکتری تخصصی، گروه ژنتیک، دانشکده علوم زیستی، دانشگاه تربیت مدرس، تهران، ایران

۲- استاد، گروه ژنتیک، دانشکده علوم زیستی، دانشگاه تربیت مدرس، تهران، ایران

۳- دانشیار، گروه هماتولوژی، دانشکده علوم پزشکی، دانشگاه تربیت مدرس، تهران، ایران

۴- دانشیار، بیمارستان طالقانی، دانشگاه علوم پزشکی شهید بهشتی، تهران، ایران

۵- دانشیار، مرکز تحقیقات پرتو مویکس، دانشکده علوم پزشکی شهید بهشتی، تهران، ایران

*آدرس نویسنده مسئول: ایران، تهران، کد پستی: ۱۴۱۱۷۱۳۱۶، دانشگاه تربیت مدرس، دانشکده علوم زیستی، گروه ژنتیک

Email: sadeghma@modares.ac.ir

**آدرس نویسنده مسئول: ایران، تهران، کد پستی: ۱۴۱۱۷۱۳۱۶، دانشگاه تربیت مدرس، دانشکده علوم پزشکی، گروه هماتولوژی

Email: soleim_m@modares.ac.ir

پذیرش مقاله: ۹۰/۱۱/۱۲ دریافت مقاله: ۹۰/۰۲/۱۲

چکیده

هدف: هدف از این مطالعه تولید لنتی ویروس‌های بیان کننده miR-16 است. پس از ترانسداکشن، تغییرات ایجاد شده در سطوح بیانی این mRNA و پروتئین هدف آن ارزیابی خواهد شد.

مواد و روش‌ها: قطعه ژنی حاوی توالی پیش‌ساز miR-16 در پلاسمید لنتی ویروسی کلون شد. سازه نوترکیب همراه با پلاسمیدهای کد کننده پروتئین‌های ساختاری و پوششی ویروس توسط کلسیم-فسفات به رده سلولی 293T ترانسفکت شد. سوب سلولی جمع‌آوری و ذرات ویروسی توسط اولتراسانتریفیوژ رسوب داده شد و تعیین تیتر ویروس توسط میکروسکوپ فلورسانس و روش فلوسایتومتری انجام یافت. تغییرات در سطوح بیانی miR-16 و پروتئین هدف آن به ترتیب توسط روش‌های Real-time PCR و لکه‌گذاری وسترن ارزیابی شد.

نتایج: تأیید حضور ژن در پلاسمید و درستی توالی آن توسط کلونی-PCR، هضم آنزیمی کلون‌های مثبت و توالی‌یابی انجام شد. پس از ترانسفکشن همزمان سلول‌های 293T با پلاسمید لنتی miR-16 و پلاسمیدهای ساختاری و پوششی ویروس و تعیین تیتر ذرات ویروسی تقطیل شده، سلول‌های مورد نظر با لنتی ویروس نوترکیب آلوده شدند. پیشینه بیان GFP در بیش از ۸۰ درصد سلول‌های آلوده شده با لنتی ویروس در MOI=1 حاصل شد. بررسی سطوح بیانی miR-16 توسط Real-time PCR نشان داد که بیان این میکرو RNA در سلول‌های آلوده شده با لنتی ویروس واحد miR-16 در مقایسه با گروه کنترل افزایش محسوسی دارد. تجزیه و تحلیل لکه‌گذاری وسترن نیز نشان داد بیش بیان miR-16 سبب کاهش بیان پروتئین BCL-2 می‌شود.

نتیجه‌گیری: سیستم بیانی لنتی ویروسی ارایه شده می‌تواند به عنوان ابزاری در راستای تحويل‌رسانی مؤثر مقلددهای میکرو RNA به سلول پیشنهاد شود.

کلیدواژگان: میکرو RNA، لنتی ویروس، ترانسفکشن، ترانسداکشن

مجله علوم پزشکی مدرس: آسیب‌شناسی زیستی، دوره ۱۵، شماره ۱، بهار ۱۳۹۱، صفحات: ۱۲-۱

بیش‌بیان miR-16 به‌واسطه لنتی ویروس

نام بردۀ می‌شود. از آن‌جا که بیان نابه‌جای miRNA ها در طیف وسیعی از سرطان‌های انسانی گزارش شده است، به‌نظر می‌رسد بازگرداندن سطوح بیان miRNA هایی که دارای عملکرد بازدارنده‌گی تومور است با استفاده از سیستم تحویل‌رسانی ویروسی (Viral Delivery System) مقلدهای mRNA که mRNA های ویژه انکوژن‌های سرطانی را هدف قرار می‌دهد، یک استراتژی درمانی بالقوه باشد [۱۰-۱۴]. هدف miR-16 از مطالعه حاضر ساخت ناقل نوترکیب حامل ژن miRNA (یکی از RNA های شاخص مرتبط با فرایندهای زیستی که بیان آن در بسیاری از سرطان‌ها کاهش می‌یابد) و انتقال این سازه ژنی به رده سلولی 293T به‌منظور بسته‌بندی miR-16 (Packaging) و تولید لنتی ویروس‌های بیان کننده 293T در نهایت بررسی بیان این miRNA در رده سلولی 293T به‌عنوان مدل سلولی پذیرنده ویروس است. همچنین از آن‌جایی که ژن 2 (B-cell lymphoma 2) Bcl-2 از اهداف شناخته شده miR-16 است، تغییرات سطوح Human BCL-2 در سلول‌های MCF-7 (Breast Adenocarcinoma Cell Line) پروتئین باشد. در مقایسه با گروه سلولی کنترل miR-16 وارد شود.

مواد و روش‌ها کشت رده‌های سلولی

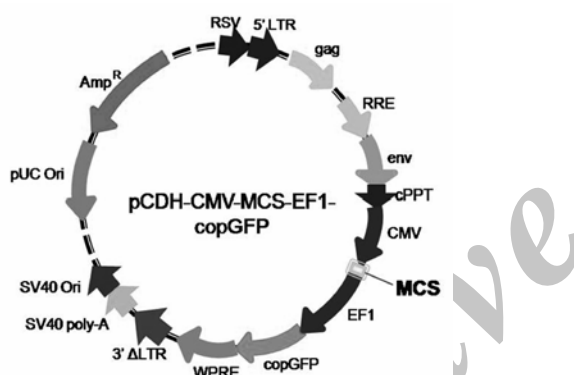
رده‌های سلولی 293T و MCF-7 در محیط DMEM (Dulbecco Modified Eagles Medium) حاوی ۱۰ درصد سرم جنین گوساله (Fetal Bovine Serum: FBS)، ۲ میلی‌مولار-L-گلوتامین، ۱۰۰ واحد بر میلی‌لیتر پنی‌سیلین (Penicillin G) و ۱۰۰ میکروگرم بر میلی‌لیتر استرپتومایسین (Streptomycin) و در انکوباتور مرطوب با ۵ درصد دی‌اکسید کربن و دمای ۳۷ درجه سانتی‌گراد کشت و نگهداری شدن.

مقدمه

میکرو RNA (microRNA: miRNA) (رده جدیدی از مولکول‌های RNA ۲۲ نوکلئوتیدی غیر کد کننده درون زادی است که بیان ژن را در سطح پس از رونویسی از طریق تجزیه mRNA و/ یا مهار ترجمه تنظیم می‌نماید [۱-۳]. برای ژنوم انسان ۱۰۰۰ ژن رمز کننده miRNA که حدوداً یک درصد ژنوم را شامل می‌شود، تخمین زده می‌شود. به‌نظر می‌رسد این miRNA ها تنظیم بیان یک سوم ژنوم انسانی را بر عهده داشته باشد. هر miRNA تقریباً ۲۰۰ رونوشت را به‌طور مستقیم یا غیر مستقیم هدف قرار می‌دهد، این در حالی است که یک ژن رمز کننده پروتئین نیز می‌تواند با بیش از یک miRNA تنظیم شود [۱]. در حال حاضر تحقیقات گسترده‌ای به‌منظور شناسایی miRNA ها، اهداف آن‌ها و عملکردهای زیستی شان در جریان است. اتصال miRNA ها به ناحیه ترجمه ناشدنی ۳'-UTR در mRNA هدف از طریق مکمل شدگی ناکامل است. مکمل شدگی با توالی مابین نوکلئوتیدهای ۲ الی ۸ (جایگاه اتصال) (Seed Site) برای تشخیص توالی هدف مهم است زیرا تنها این توالی از الیگونوکلئوتید تقریباً ۲۲ بازی miRNA به‌طور کامل با ۳'-UTR در mRNA هدف جفت می‌شود [۴، ۵] با این وجود شواهد اخیر نشان می‌دهد که miRNA می‌تواند تنظیم بیان ژن را از طریق اتصال به عناصر تشخیصی خارج از جایگاه اتصال موجود در ۳'-UTR یا با اتصال به توالی‌هایی در نواحی رمز کننده رونوشت نیز انجام دهد [۶، ۷].

نقش کلیدی miRNA ها به‌عنوان تنظیم‌کننده‌های فرایندهای مختلف سلولی نظیر تکثیر، تمایز و مرگ برنامه‌ریزی شده سلولی (Apoptosis) که در سرطان دستخوش تغییرات می‌شود به اثبات رسیده است [۸، ۹]. با توجه به این عملکردهای وسیع، از RNA های مختلفی به‌عنوان انکوژن (Oncogene) یا باز دارنده تومور (Tumor Suppressor) در شبکه‌های اختصاصی تغییر یافته در پیدایش و پیشرفت سرطان

۱۰۰ میلی مولار و ۰/۵ واحد از آنزیم *Taq* پلیمراز تهیه شد. واسرشتگی اولیه DNA در دمای ۹۴ درجه سانتی گراد به مدت ۵ دقیقه انجام شد، سپس برنامه تکثیر زیر برای ۳۰ چرخه اجرا شد: ۹۴ درجه سانتی گراد به مدت ۴۵ ثانیه، ۶۷ درجه سانتی گراد به مدت ۳۰ ثانیه و ۷۲ درجه سانتی گراد به مدت ۴ ثانیه. همچنین واکنش برای مدت ۵ دقیقه در دمای ۷۲ درجه سانتی گراد ادامه یافت و در انتها در دمای ۴ درجه سانتی گراد نگه داشته شد. محصول PCR روی ژل آگارز Ethidium ۱/۵ درصد رنگ آمیزی شده با اتیدیوم بروماید (Bromide) با استفاده از اشعة ماورای بنفس مشاهده و با انداهای ظاهر شده با نشانگر اندازه یک کیلو بازی سنجدید شد.



شکل ۱ نقشه پلاسمیدی، ژن موردنظر می‌تواند تحت پرموتور CMV (Cytomegalovirus) همراه با کاست ییانی ژن گزارشگر GFP کلون شود. محل همسانه‌سازی چندگانه (Multiple Cloning Site: MCS) (پلاسمید دارای توالی‌های محل برش برای آنزیم‌های محدود کننده متعددی از جمله *Xba*I و *Bam*HI است.

همسانه‌سازی ژن miR-16 در پلاسمید pCDH

هضم آنزیمی محصول PCR و پلاسمید مورد نظر و سپس اتصال این دو اساس روند همسانه‌سازی ژن (Gene Cloning) است. در این تحقیق از پلاسمید pCDH-CMV-MCS-EF1-cop GFP شرکت System Biosciences کاست ژنی برای بیان پروتئین فلورسانست سبز (GFP) است استفاده شد (شکل ۱). استخراج

استخراج DNA و اندازه‌گیری غلظت و تعیین خلوص آن

DNA ژنومی از گلوبول‌های سفید خون محیطی با استفاده از روش نمک اشباع (Salting Out) استخراج [۱۵] و غلظت آن توسط اسپکتروفوتومتری با جذب نور ماورای بنفس در طول موج ۲۶۰ نانومتر سنجیده شد. در این طول موج، جذب برابر با عدد یک، معادل ۵۰ میکروگرم DNA دو رشته‌ای در یک میلی‌لیتر است. کیفیت، یکپارچگی و غلظت DNA استخراج شده نیز توسط الکتروفورز روی ژل آگارز ۰/۸ درصد بررسی شد.

طراحی آغازگرهای (Primers) و تکثیر ناحیه ژنی مورد نظر

به منظور طراحی آغازگرهای مستقیم (Forward) و معکوس (Reverse) ابتدا توالی‌های نوکلئوتیدی فرادرست و فرودست ژن کد کننده miR-16 ۱۳ انسانی قرار دارد از سایت اینترنتی دریافت و سپس http://www.ncbi.nlm.nih.gov/Gene طراحی آغازگرهای حاوی جایگاه هضم آنزیمی با کمک نرم‌افزار GeneRunner نسخه ۳/۰/۵ به صورت زیر انجام شد:

آغازگر مستقیم (دارای جایگاه آنزیمی *Bam*HI):

F: 5'-TGG GGA TCC GTA GCA GCA CAT AAT
GGT TTG-3'

آغازگر معکوس (دارای جایگاه آنزیمی *Xba*I):

R: 5'-TGA TCT AGA GTC TAT GTT GAA TAT
AAA TGT GC-3'

برای تکثیر قطعه ژنی ۵۰۰ جفت بازی حاوی توالی پیش‌ساز miR-16، مخلوط واکنش PCR به حجم ۲۵ میکرولیتر شامل ۲ میکروگرم DNA ژنومی استخراج شده، ۱ میکرولیتر از هر یک از آغازگرهای ۱۰ پیکومول در میکرولیتر، ۰/۵ میکرولیتر مخلوط dNTP (۴۰ میلی‌مول)، ۲/۵ میکرولیتر بافر ۱۰X، ۰/۴ میکرولیتر کلرید منیزیم

کلونی-PCR، برش آنزیمی و تعیین توالی DNA مستقیم

پس از ۱۸ الی ۲۴ ساعت از پایان مرحله قبل، کلونی های منفرد روی پلیت به طور مجزا برداشته شد و در ۵ میلی لیتر محیط LB مایع حاوی آنتی بیوتیک کشت داده و در انکوباتور شیکردار در دمای ۳۷ درجه سانتی گراد قرار داده شدند. پس از کمتر از ۱۶ ساعت، استخراج پلاسمید از باکتری های کشت داده شده انجام شد. در صورتی که قطعه ژنی مورد نظر در پلاسمید نوترکیب حضور داشته باشد، این قطعه ژنی با آغازگرهای همسانه سازی قابل تکثیر است، بنابراین روی پلاسمید های استخراج شده واکنش PCR با آغازگرهای همسانه سازی انجام شد تا در صورتی که باند مربوط مشاهده شود دلیلی بر حضور قطعه باشد. همچنین از برش آنزیمی BamHI پلاسمید استخراج شده توسط آنزیم های محدود کننده XbaI و Spiss الکتروفورز روی ژل آگارز به منظور تشخیص کلون مثبت (حاوی پلاسمید نوترکیب) از کلون منفی (فاد پلاسمید نوترکیب) نیز استفاده شد. در نهایت از توالی یابی DNA و مقایسه نتیجه توالی یابی با توالی ثبت شده در پایگاه اینترنتی <http://www.ncbi.nlm.nih.gov/blast> به منظور حصول اطمینان از درستی توالی قطعه ژنی کلون شده استفاده شد.

انتقال سازه نوترکیب لنتی miR و پلاسمید های کد کننده پروتئین های پوششی و ساختاری ویروس به سلول های 293T

پس از تأیید حضور ژن در پلاسمید و درستی توالی آن، غلاظت پلاسمید استخراج شده توسط بیوفتو متر (Biophotometer) سنجیده شد. تقریباً حدود ۲۴ ساعت پیش از ترانسفکشن (Transfection)، سلول های 293T کشت شبانه داده شدند تا به تراکم سطحی ۷۰ درصد برسند. ترانسفکشن همزمان پلاسمید نوترکیب لنتی miR-16، پلاسمید

پلاسمید توسط کیت Invitrogen (آلمان) انجام شد. به منظور همسانه سازی ژن، محصول PCR و DNA پلاسمیدی تخلیص شده توسط آنزیم های محدود کننده *Xba*I و *Bam*HI بریده شد. واکنش اتصال (Ligation) محصولات برش یافته توسط آنزیم T4 DNA لیگاز شرکت Fermentase (لیتوانی) مطابق دستور العمل انجام شد. پس از یک ساعت انکوباسیون در دمای اتاق و نگهداری در دمای ۴ درجه سانتی گراد به مدت یک شب، آنزیم لیگاز به مدت ۱۵ دقیقه در دمای ۷۵ درجه سانتی گراد غیر فعال شد.

انتقال پلاسمید کلون شده به سویه باکتریایی STBL-4 و غربال کردن (Screening) کلون های

باکتری حاوی پلاسمید نوترکیب

باکتری مستعد (Competent Cell) از سویه STBL-4 باکتری اشتریشیا کلی (Escherichia coli) به روش کلرید کلسیم تهیه شد. برای انتقال پلاسمید نوترکیب به درون باکتری، ۵ میکرولیتر از محصول واکنش اتصال در مرحله قبل به یک میکروتیوب حاوی ۵۰ میکرولیتر باکتری مستعد افزوده و به مدت ۳۰ دقیقه روی یخ انکوبه شد. مخلوط فوق در دمای ۴ درجه سانتی گراد به مدت ۹۰ ثانیه شوک حرارتی داده شد و بلا فاصله روی یخ منتقل شد. سپس مقدار ۸۰۰ میکرولیتر محیط Lysogeny Broth (LB) مایع فاقد آنتی بیوتیک به میکروتیوب افزوده و به مدت ۹۰ دقیقه در انکوباتور شیکردار (Shaker Incubator) در دمای ۳۷ درجه سانتی گراد قرار داده شد. پس از دریافت پلاسمید نوترکیب، سلول ها روی پلیت آگار حاوی آنتی بیوتیک آمپی سیلین (Ampicillin) کشت داده شدند و به مدت یک شب در دمای ۳۷ درجه سانتی گراد انکوبه شدند. محیط کشت حاوی آنتی بیوتیک آمپی سیلین امکان رشد را تنها برای باکتری هایی فراهم می کند که پلاسمید نوترکیب حامل ژن مقاومت به آمپی سیلین را دریافت کرده اند.

با بیان کنترل درون زاد U6 snRNA سنجیده شد. تجزیه و تحلیل داده‌ها توسط روش بررسی مقایسه‌ای چرخه آستانه (Comparative Threshold Cycle Method) و فرمول $2^{-\Delta\Delta Ct}$ انجام شد [۱۶].

لکه‌گذاری وسترن (Western Blotting)

پروتئین تام سلولی با استفاده از بافر RIPA (Radioimmuno-Precipitation Assay) استخراج و توسط Sodium Dodecyl Sulfate-Polyacrylamide (SDS-PAGE) Gel Electrophoresis (روی ژل ۱۲/۵ درصد جداسازی شده) (Polyvinylidene Fluoride) PVDF غشا روی غشای پیس لکه‌ها را می‌گذارد. انتقال یافت و مهار واکنش‌های غیر اختصاصی توسط انکوباسیون غشا در محلول مسدود کننده (Blocking Solution) به مدت ۲ ساعت در دمای اتاق انجام شد. در گام بعدی، غشا با آنتی‌بادی اختصاصی علیه BCL-2 (Santa Cruz، آمریکا) به مدت ۵ ساعت و آنتی‌بادی ثانویه متصل به HRP (Horseradish Peroxidase) استفاده از آنتی‌بادی بر علیه بتا اکتین (Santa Cruz، آمریکا) نیز به عنوان کنترل بارگذاری (Loading Control) انجام شد تا از میزان پیکسان بارگذاری پروتئین‌ها در ژل اطمینان حاصل شود. در پایان علاطم توسط کیت ECL شناسایی شد.

نتایج تکثیر ناحیه ژنی حاوی توالی ژن پیش‌ساز miR-16

نسبت جذب DNA استخراج شده در طول موج ۲۶۰ نانومتر به ۲۸۰ نانومتر (A260/A280) برابر با ۱/۹-۱/۸ بود. الکتروفورز روی ژل آگارز نیز تأیید کننده کیفیت، یکپارچگی و غلظت بالای DNA استخراج شده بود. تکثیر قطعه ژنی حاوی توالی پیش‌ساز miR-16 PCR توسط miR-16 PCR کیت و یک باند ۵۰۰ جفت بازی روی ژل الکتروفورز معادل با اندازه

pMD2 (کد کننده پروتئین‌های پوششی) و پلاسمید Pax2 (کد کننده پروتئین‌های ساختاری gag و pol) توسط Invitrogen (Lipofectamine 2000 2000) (آمریکا) مطابق دستورالعمل سازنده انجام شد. محیط کشت پس از ۶ ساعت تعویض شد.

تغليظ ذرات ويروسی و تعين تيتر ويروسی

پس از ۴۸ ساعت از تعویض محیط کشت، محیط رویی سلول‌ها که حاوی ویروس‌های تولید شده است، جمع‌آوری و اولتراسانتریفوج (۲۵۰۰۰ دور در دقیقه به مدت ۱۵۰ دقیقه) انجام شد. رسوب حاصل در محیط DMEM فاقد FBS حل و تقسیم شد و در دمای -۸۰ درجه سانتی‌گراد نگهداری شد. به منظور تعیین تیتر ویروس‌های تولید و تغليظ شده، سلول‌های 293T با رقت‌های مختلف ویروس (۵، ۱۰، ۵۰، ۱۰۰، ۱۵۰ و ۲۵۰ میکرولیتر) آلوده و پس از ۴۸ ساعت میزان بیان پروتئین گزارش گر GFP توسط میکروسکوپ فلورسانس بررسی شد. در صد سلول‌های GFP مثبت نیز توسط روش فلوسایتومنتری تعیین و ترانسداکشن (Transduction) سلولی با ضربه آلدگی (Multiplicity of Infection: MOI) تقریباً برابر با ۱ انجام شد.

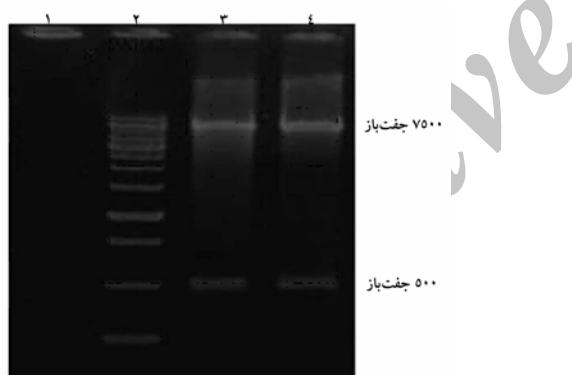
استخراج RNA، ستز cDNA و ارزیابی تغییرات Real-time PCR توسط miR-16

پس از ۴۸ ساعت از آلوده‌سازی با ویروس، RNA تام از سلول‌های 293T توسط واکش گر تراپیزول (Trizol) استخراج شد. سپس cDNA مربوط به miR-16 توسط کیت Stratagene (آمریکا) مطابق دستورالعمل شرکت سازنده ساخته شد. یک گروه سلولی نیز به عنوان کنترل بدون ترانسداکشن باقی ماندند. در نهایت Real-time PCR miR-16 توسط آغازگر معکوس عمومی کیت و آغازگر مستقیم اختصاصی انجام شد. بیان miR-16 در مقایسه

بیش‌بیان miR-16 به‌واسطه لنتی ویروس

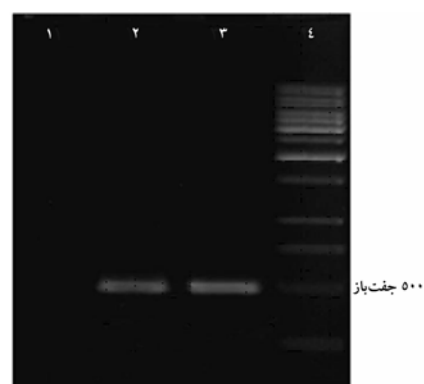
این باکتری‌ها روی محیط کشت حاوی آنتی‌بیوتیک آمپیسیلین و فراهم آمدن امکان غربال باکتری‌های حاوی پلاسمید از باکتری‌های فاقد پلاسمید، چند ده مورد از کلونی‌های رشد یافته مجزا انتخاب شد و پس از استخراج پلاسمید واکنش PCR با آغازگرهای همسانه‌سازی روی آن‌ها انجام گرفت تا صرفاً پلاسمیدهایی برای مراحل بعدی انتخاب شود که دارای قطعه مورد نظر (۵۰۰ جفت‌باز) باشد. نمونه‌ای از محصول واکنش کلونی-PCR در شکل ۳ آمده است.

از آنجایی که در صورت ورود قطعه ژنی مورد نظر به پلاسمید تعداد جفت‌بازهای به دست آمده متعاقب برش آنزیمی در مقایسه با پلاسمیدهای غیر نوترکیب متفاوت خواهد بود، بنابراین از هضم آنزیمی به عنوان روشی برای تأیید کلون‌های مثبت استفاده شد. شکل ۴ نتایج برش آنزیمی پلاسمید استخراج شده توسط آنزیم‌های محدود کننده *XbaI* و *BamHI* را روی ژل الکتروفورز نشان می‌دهد.

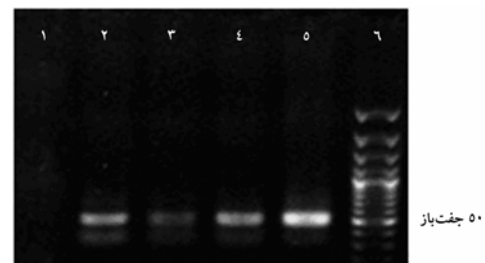


تعیین توالی ژن پیش‌ساز miR-16 کلون شده در پلاسمید pCDH به عنوان گام نهایی و قطعی برای تأیید کلون مثبت تلقی می‌شود. نتایج توالی‌یابی (شکل ۵ الف) و مقایسه آن با توالی ثبت شده در پایگاه اینترنتی NCBI (شکل ۵ ب)

توالی مورد نظر ایجاد کرد که نشان دهنده اختصاصی بودن شرایط دمایی و زمانی تکثیر و آغازگرهای طراحی شده است (شکل ۲).



شکل ۲ الکتروفرز محصول PCR قطعه ژنی حاوی توالی پیش‌ساز miR-16 روی ژل آگارز ۱/۵ درصد؛ ستون ۱) کنترل فاقد DNA الگو، ستون ۲ و ۳) محصول PCR قطعه ژنی حاوی توالی پیش‌ساز miR-16، ستون ۴) نشانگر اندازه ۱ کیلوبازی



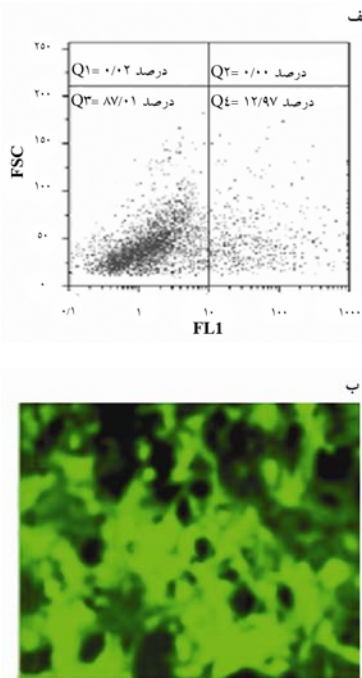
شکل ۳ الکتروفرز محصول کلونی-PCR روی ژل آگارز؛ ستون ۱) کنترل فاقد DNA الگو، ستون ۲-۵) محصول PCR به دست آمده از کلونی‌های حاوی پلاسمید نوترکیب، ستون ۶) نشانگر اندازه ۱۰۰ جفت‌بازی

نتایج ترانسفورماسیون (Transformation)

باکتری‌ها با محصول واکنش اتصال

پس از انجام واکنش برش آنزیمی محصول PCR و پلاسمید pCDH توسط آنزیم‌های محدود کننده *BamHI* و *XbaI* و انجام واکنش اتصال، پلاسمید نوترکیب به درون سویه STBL-4 باکتری اشتباهی کلی ترانسفورم شد. پس از کشت

برابر با $10^{4\times 10}$ miR-16 (Transducing Units) TU در میلی لیتر بود.



شکل ۶ نتایج به دست آمده برای تعیین تیر ویروس؛ (الف) سلول‌های 293T آلوه شده با لنتی ویروس نوترکیب و اجد miR-16، جمعیت سلولی در ناحیه پایین سمت چپ نشان‌دهنده درصد سلول‌های GFP مثبت است. (ب) تصویر میکروسکوپ فلورسانس در مورد بیان ژن گزارشگر GFP که طی آن بیش از ۸۰ درصد سلول‌ها GFP مثبت هستند. این میزان بیشینه از بیان ژن گزارشگر GFP مربوط به ترانسداکشن سلول‌ها در MOI=۱ بود. در این میکروپلیمری از ویروس است.

تغییرات در سطوح بیانی miR-16 پس از ترانسداکشن

پس از سپری شدن ۴۸ ساعت از زمان آلوده‌سازی miR-16 سلول‌های 293T با لنتی ویروس، بررسی سطح بیانی miR-16 توسط Real-time PCR در دو گروه سلولی آلوه شده و آلوه نشده (گروه کنترل) نشان داد که بیان miR-16 در سلول‌های آلوه شده با رقت 10^5 میکرولیتر از ویروس در مقایسه با گروه کنترل افزایش محسوسی دارد. همان‌گونه که در

مشخص نمود قطعه ۵۰۰ جفت‌بازی کلون شده در پلاسمید توالی مربوط به ژن miR-16 است. این کلون مثبت برای مطالعات بعدی استفاده شد.

الف

```
GTAGCAGCACATAATGGTTGTGGATTTGAAAAGGTGCAG
GCCATATTGTGCTGCCCTCAAAATACAAGGATCTGATCTTC
TGAAAGAAAATATATTTCTTTTATTCTAGCTCTTATGATAGC
AATGTCAGCAGTCCTTAGCAGCACGTAATATTGGCGTTA
AGATTCCTAAATATCTCCAGTTAACACTGTGCTGCTGAAGT
AAGGTTGACCATACTCTCACAGTTGTGTTTAATGTATATTAAT
GTTACTAATGTTTTCAGTTTATGATAGTCTTTTCACTGATT
ATTGATAATCTGTTATTTTAGTATGATTCTGTAAAAATGAAT
TAATACTAATTTTCACTGATGTATCATCTCTTAAATACTGTAAT
TGCATTAATATAATTGTTGAATGCCATCAAGTTTTTAA
AAGCTTATGCAGCATTAGAGGAATTATTTAATGCACATTTA
TATTCAACATAGAC
```

ب

Query 1 TTAGTGTAGCAATGTCAGTCAGTGCTTACAGCAGCTAAATATTTGGCTTAAAGTCTAA 60
Subject 31603210 TTAGTGTAGCAATGTCAGTCAGTGCTTACAGCAGCTAAATATTTGGCTTAAAGTCTAA 31603151
Query 61 AATTTATCTCCAGTAACTACTGTCGCTGAGTAAGGTTGACCATCTCTACAGT 115
Subject 31603150 AATTTATCTCCAGTAACTACTGTCGCTGAGTAAGGTTGACCATCTCTACAGT 31603096

شکل ۵ (الف) توالی به دست آمده از تعیین توالی ژن پیش‌ساز ۱۶ مربوط به کلون مثبت، (ب) بلاست نتیجه تعیین توالی ژن پیش‌ساز ۱۶ مربوط به کلون مثبت با توالی ثبت شده در پایگاه NCBI

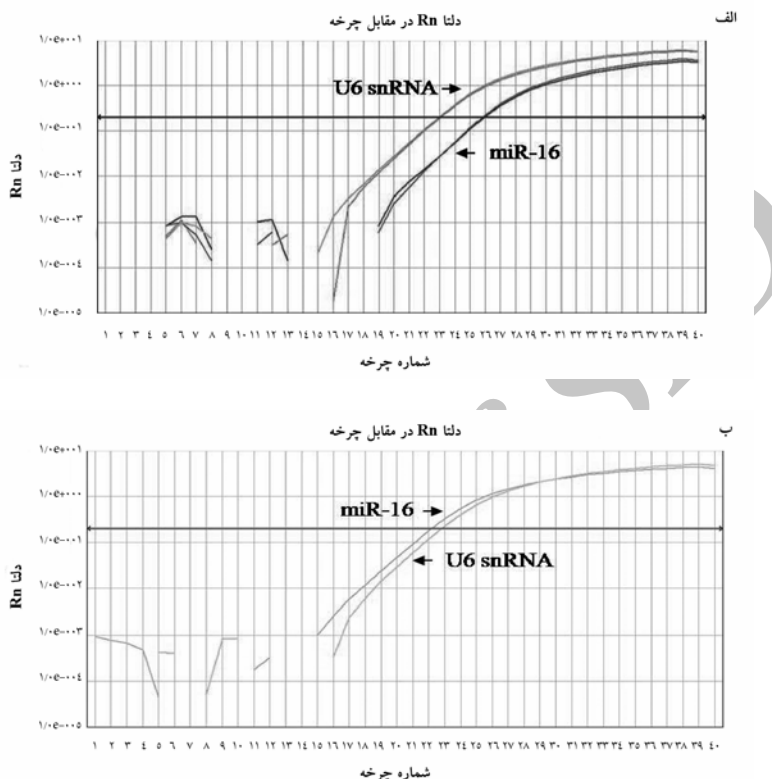
نتایج تولید و تعیین تیر لنتی ویروس‌های نوترکیب

به منظور دستیابی به لنتی ویروس‌های نوترکیب و فعال، ناقل نوترکیب لنتی-miR به همراه پلاسمیدهای کد کننده پروتئین‌های ساختاری و بسته‌بندی ویروس به طور همزمان در سلول‌های 293T ترانسفکت شد. از آنجایی که بالا بودن تیر ویروسی در افزایش توان آلوه‌سازی ویروس اهمیت بهسازی دارد، ذرات ویروسی پس از تولید، باید تغليظ شود. در این راستا تغليظ محیط رویی سلول‌های 293T ترانسفکت شده، امكان دستیابی به مقادیر زیادی از ذرات ویروسی تولید شده را فراهم نمود. برای تعیین تیر ویروسی، تعداد ثابتی از سلول‌های 293T (۱۰^۰ سلول) با میزان ۵ میکرولیتر از ویروس تغليظ شده در سریال‌های رقت آلوه شدند. بعد از ۴۸ ساعت، برای تعیین تیر، سلول‌ها تریپسینه شدند و توسط روش فلوراسیوتومتری درصد سلول‌های GFP مثبت اندازه‌گیری شد. نتایج نشان داد که در MOI=۱ بیش از ۸۰ درصد سلول‌ها آلوه شده‌اند (شکل ۶). تیر ویروس در سلول‌های 293T برای لنتی ویروس واجد

بیش بیان miR-16 به واسطه لنتی ویروس

نسبی (Ratio) بیان miR-16 توسط فرمول $2^{-\Delta\Delta Ct}$ انجام شد و نتایج برگرفته از آزمایش های متعدد در شکل ۸ نشان داده شده است.

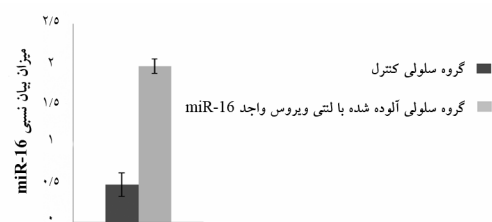
شکل ۷ ملاحظه می شود، منحنی تکثیر miR-16 در گروه سلولی آلوه شده با ویروس در مقایسه با گروه سلولی کنترل سریع تر وارد فاز تصاعدی تکثیر شده است. محاسبه میزان



شکل ۷ منحنی های تکثیر مربوط به cDNA ساخته شده از روی miR-16 در دو گروه سلولی کنترل (الف) و آلوه شده با لنتی ویروس نوترکیب واجد miR-16 (ب)؛ در شکل الف منحنی تکثیر miR-16 در چرخه ۲۳ و منحنی تکثیر U6 snRNA در چرخه ۲۶ وارد فاز تصاعدی شده و به خط آستانه رسیده است. شکل ب) منحنی تکثیر U6 snRNA در چرخه ۲۳ و منحنی تکثیر miR-16 در چرخه ۲۶ وارد فاز تصاعدی شده و به خط آستانه رسیده است.

تغییرات در سطوح بیانی پروتئین BCL-2 پس از ترانسداکشن

بررسی ها نشان داده اند که miR-16 دارای اهداف گستردگی در درون سلول است [۱۷، ۱۸]. از آنجایی که ژن Bcl-2 یکی از شناخته شده اهداف برای miR-16 است، بیان این ژن در سطح پروتئین بررسی شد تا کارایی سیستم تحویل رسانی ویروسی ارائه شده در زمینه مهار ترجمه یکی از ژن های هدف این miRNA سنجیده شود. برای این منظور سلول های سرطانی

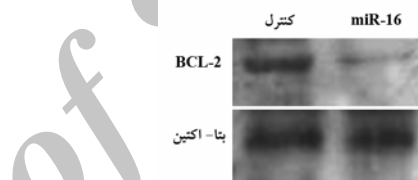


شکل ۸ میزان نسبی (Ratio) بیان miR-16 برگرفته از آزمایش های متعدد Real-time PCR؛ افزایش محسوس در سطوح بیانی miR-16 در سلول های آلوه شده با لنتی ویروس نوترکیب واجد miR-16 در مقایسه با سطوح بیانی پایه miR-16 در گروه سلولی کنترل مشهود است.

القای تمایز به سمت یک رده سلولی خاص یا توانایی آنها در تنظیم بیان ژن‌های کلیدی مؤثر در مسیرهای مولکولی مشخص، نقش بالقوه آنها را در ژن درمانی خاطر نشان می‌سازد [۱۹]. با این وجود پیش از به راهاندازی درمان‌های مبتنی بر miRNA باید به مسائل چالش برانگیزی نظری میزان دوز، ویژگی، کارایی، پایایی، ایمنی و مسائل مربوط به تحويل‌رسانی به سلول نیز توجه ویژه داشت [۲۰، ۲۱].

استفاده از سیستم بیانی لتی‌ویروس (Lentivirus Expression System) ابزار مناسبی به منظور بیان ژن‌های خارجی در اغلب سلول‌های پستانداران است. بسته‌بندی سازه‌های لتی-ناقل حامل ژن کد کننده mRNA در ذرات ویروسی امکان انتقال کارآمد این سازه‌های بیانی و بیان متعاقب آنها را در سلول‌های مختلف فراهم می‌آورد. سازه بیانی انتقال یافته به سلول‌های هدف توانایی ادغام به داخل DNA ژنومی را دارد و موجب بیان پایا و طولانی مدت (Long-Term) ژن مورد نظر می‌شود [۲۲]. در مطالعه حاضر از سیستم بیانی لتی‌ویروس به منظور افزایش بیان miR-16 در رده سلولی 293T به عنوان یک مدل سلولی پذیرنده ویروس استفاده شد. بررسی کمی و مقایسه‌ای سطوح بیانی miR-16، افزایش محسوسی را در میزان رونوشت‌های این mRNA در سلول‌های آلووده شده با لتی‌ویروس نوترکیب نشان داد. همچنین آلووده‌سازی رده سلولی سرطانی MCF-7 توسط لتی‌ویروس واحد miR-16 موجب کاهش بیان پروتئین BCL-2 که از اهداف شناخته شده این mRNA است شد. انتظار می‌رود توانایی سیستم تحويل‌رسانی لتی‌ویروسی ارایه شده در زمینه افزایش سطوح بیانی miR-16 و در نتیجه ایجاد کاهش در سطوح بیانی پروتئین تولید شده توسط ژن هدف آن، در مورد سایر mRNA ها نیز نتایج مشابهی به همراه داشته باشد و یکی از چالش‌های مرتبط با mRNA ها یعنی تحويل‌رسانی مؤثر آنها به سلول را برطرف سازد. بنابراین سیستم فوق می‌تواند در آزمایش‌هایی که به هدف دستیابی به راهکارهای درمانی مبتنی بر تغییر سطوح بیان mRNA ها

MCF-7 که دارای بیان پروتئین BCL-2 هستند، توسط لتی‌ویروس واحد miR-16 آلووده شدند و پس از ۴۸ ساعت بیان پروتئین BCL-2 توسط لکه‌گذاری وسترن سنجیده شد. همان‌گونه که در شکل ۹ ملاحظه می‌شود، سلول‌های آلووده شده با لتی‌ویروس واحد miR-16 نسبت به گروه کنترل باند ضعیف‌تری از پروتئین BCL-2 را نشان می‌دهند که نشان‌دهنده کاهش میزان بیان این پروتئین در اثر عملکرد miR-16 است. این در حالی است که تفاوت محسوسی در شدت باند بتأکین در دو نمونه ملاحظه نشد که بیانگر تساوی در میزان بارگذاری پروتئین‌ها در دو چاهک است.



شکل ۹ تجزیه و تحلیل لکه‌گذاری وسترن بیان پروتئین BCL-2 در گروه‌های سلولی کنترل و آلووده شده با لتی‌ویروس واحد miR-16. میزان بیان پروتئین BCL-2 پس از بیش‌بیان miR-16 مشهود است. عدم تفاوت قابل ملاحظه در شدت باند پروتئین بتأکین که به عنوان کنترل میزان بارگذاری گرفته شده است نمایانگر تساوی در میزان بارگذاری پروتئین‌ها در دو چاهک است.

بحث

مولکول‌های miRNA در روند تکاملی موجودات زنده بسیار حفاظت شده بوده است و نقش آنها به عنوان عناصر کلیدی برای تنظیم فرایندهای مختلف زیستی نظیر تکثیر، تعیین تمایز و مرگ برنامه‌ریزی شده سلولی به اثبات رسیده است [۱، ۲]. از آنجا که بیان نابهجهای mRNA ها در طیف وسیعی از سرطان‌های انسانی گزارش شده است، به نظر می‌رسد افزایش سطوح بیانی miRNA هایی که به عنوان ژن سرکوب‌گر تومور شناخته شده و در انواع معینی از سرطان‌های انسانی دچار حذف یا تنظیم منفی شده است یک استراتژی درمانی بالقوه در درمان سرطان باشد [۱۲-۱۴]. همچنین توانایی mRNA ها در

بیش‌بیان miR-16 به‌واسطه لنتی ویروس

است و با پشتیبانی مالی دانشگاه تربیت مدرس انجام شده است. نویسنده‌گان مراتب احترام و قدردانی خود را نسبت به کلیه همکاران گروه ژنتیک و گروه هماتولوژی دانشگاه تربیت مدرس به دلیل همکاری‌های انجام یافته در رابطه با اجرای این تحقیق اعلام می‌دارند.

را اندازی می‌شود، به عنوان ابزاری برای تحويل‌رسانی مؤثر مقلد‌های miRNA به داخل سلول توصیه شود.

تشکر و قدردانی

مطالعه حاضر بخشی از رساله دکتری رشته ژنتیک مولکولی

منابع

- [1] Babashah S, Soleimani M. The oncogenic and tumour suppressive roles of microRNAs in cancer and apoptosis. *Eur J Cancer* 2011; 47(8): 1127-37.
- [2] Liu X, Fortin K, Mourelatos Z. MicroRNAs: biogenesis and molecular functions. *Brain Pathol* 2008; 18(1):113-21.
- [3] Cullen BR. Derivation and function of small interfering RNAs and microRNAs. *Virus Res* 2004; 102(1): 3-9.
- [4] Lee Y, Jeon K, Lee JT, Kim S, Kim VN. MicroRNA maturation: stepwise processing and subcellular localization. *EMBO J* 2002; 21(17): 4663-70.
- [5] Brennecke J, Stark A, Russell RB, Cohen SM. Principles of microRNA-target recognition. *PLoS Biol* 2005; 3(3): e85.
- [6] Lal A, Navarro F, Maher CA, Maliszewski LE, Yan N, O'Day E, Chowdhury D, Dykxhoorn DM, Tsai P, Hofmann O, Becker KG, Gorospe M, Hide W, Lieberman J. miR-24 Inhibits cell proliferation by targeting E2F2, MYC, and other cell-cycle genes via binding to "seedless" 3'UTR microRNA recognition elements. *Mol Cell* 2009; 35(5): 610-25.
- [7] Lee I, Ajay SS, Yook JI, Kim HS, Hong SH, Kim NH, Dhanasekaran SM, Chinnaiyan AM, Athey BD. New class of microRNA targets containing simultaneous 5'-UTR and 3'-UTR interaction sites. *Genome Res* 2009; 19(7): 1175-83.
- [8] Bueno MJ, Pérez de Castro I, Malumbres M. Control of cell proliferation pathways by microRNAs. *Cell Cycle* 2008; 7(20): 3143-8.
- [9] Cho WC. MicroRNAs in cancer - from research to therapy. *Biochim Biophys Acta* 2010; 1805(2): 209-17.
- [10] Bandyopadhyay S, Mitra R, Maulik U, Zhang MQ. Development of the human cancer microRNA network. *Silence* 2010; 1(1): 6.
- [11] Lu J, Getz G, Miska EA, Alvarez-Saavedra E, Lamb J, Peck D, Sweet-Cordero A, Ebert BL, Mak RH, Ferrando AA, Downing JR, Jacks T, Horvitz HR, Golub TR. MicroRNA expression profiles classify human cancers. *Nature* 2005 9; 435(7043): 834-8.
- [12] Esquela-Kerscher A, Slack FJ. Oncomirs - microRNAs with a role in cancer. *Nat Rev Cancer* 2006; 6(4): 259-69.
- [13] Calin GA, Croce CM. MicroRNA signatures in human cancers. *Nat Rev Cancer* 2006; 6(11): 857-66.
- [14] Meng F, Henson R, Lang M, Wehbe H, Maheshwari S, Mendell JT, Jiang J, Schmittgen

- TD, Patel T. Involvement of human micro-RNA in growth and response to chemotherapy in human cholangiocarcinoma cell lines. *Gastroenterology* 2006; 130(7): 2113-29.
- [15]Miller SA, Dykes DD, Polesky HF. A simple salting out procedure for extracting DNA from human nucleated cells. *Nucleic Acids Res* 1988; 16(3): 1215.
- [16]Livak KJ, Schmittgen TD. Analysis of relative gene expression data using real-time quantitative PCR and the 2(-Delta Delta C(T)) Method. *Methods* 2001; 25(4): 402-8.
- [17]Hanlon K, Rudin CE, Harries LW. Investigating the targets of MIR-15a and MIR-16-1 in patients with chronic lymphocytic leukemia (CLL). *Plos One* 2009; 4(9): e71169.
- [18]Cimmino A, Calin GA, Fabbri M, Iorio MV, Ferracin M, Shimizu M, Wojcik SE, Aqeilan RI, Zupo S, Dono M, Rassenti L, Alder H,
- Volinia S, Liu CG, Kipps TJ, Negrini M, Croce CM. miR-15 and miR-16 induce apoptosis by targeting BCL2. *Proc Natl Acad Sci USA* 2005; 102(39): 13944-9.
- [19]Fatica A, Rosa A, Ballarino M, De Marchis ML, Rasmussen KD, Bozzoni I. Role of microRNAs in myeloid differentiation. *Biochem Soc Trans* 2008; 36(Pt 6): 1201-5.
- [20]Tong AW, Nemunaitis J. Modulation of miRNA activity in human cancer: a new paradigm for cancer gene therapy? *Cancer Gene Ther* 2008; 15(6): 341-55.
- [21]Wu W, Sun M, Zou GM, Chen J. MicroRNA and cancer: Current status and prospective. *Int J Cancer* 2007; 120(5): 953-60.
- [22]Scherr M, Battmer K, Ganser A, Eder M. Modulation of gene expression by lentiviral-mediated delivery of small interfering RNA. *Cell Cycle* 2003; 2(3): 251-7.